

## الكشف الديناميكي عن تردّد الأبنية الخاضعة للزلزال

(الأبنية القابلة للتمثيل بدرجة حرية واحدة)

الدكتور محمود سعيد

(ورد إلى المجلة في 19/5/1998، قبل للنشر في 1/9/1999)

### □ الملخص □

يعرض هذا البحث طريقة بسيطة للكشف الديناميكي الأولى عن تردّد الأبنية القابلة للتمثيل ديناميكياً بدرجة حرية واحدة، والمعرضة لتأثير الزلازل. تستند هذه الطريقة إلى استقراء تسجيلات تحريض واستجابات المبني أثناء الهزات الطبيعية أو الاصطناعية. فنقوم بالكشف عن السلوك غير المرأوح في هذه التسجيلات، وبذلك تكشف التغيرات التي تطرأ على العوامل المميزة لهذه الأبنية، مثل التواتر الطبيعي الأول الذي يتاسب مع الجذر التربيعي لصلابة المبني على الانعطاف الأفقي الجانبي، والتزامن اللزج المكافئ للمبني. وقد تم اختبار هذه الطريقة على تسجيلات حقيقة لهزات أرضية. فأثبتت النتائج التي حصلنا عليها فعالية هذه الطريقة في حالة الأبنية المنتظمة.

\* أستاذ مساعد في قسم الهندسة الإنشائية - كلية الهندسة المدنية - جامعة تشرين - اللاذقية - سوريا.

**Dynamic Identification of Degradation in  
Building Subjected to Earthquakes  
(Buildings Represented by One Degree of Freedom)**

**Dr. Mahmoud SAID\***

(Received 19/5/1998, Accepted 9/1/1999)

**□ ABSTRACT □**

*This Paper presents a simple method for identifying the degradation in building represented by one degree of freedom and subjected to earthquake effects. This method is based on records of building excitation and responses during natural or artificial earthquakes. It can identify non-stationary behavior in these records, and then detect the variation of the building characteristics, such as the first natural frequency related to the building the lateral bending stiffness, and the equivalent viscose damping. This method was tested by real earthquake records and has been proved efficient in the case of regular buildings.*

---

\* Associate Professor, Department of Structural Engineering, Faculty of Civil Engineering,  
Tishreen University, Lattakia – SYRIA.

## 1- مقدمة:

أن تواتر اهتزازته الذاتية الأول، المقاس "San Fernando, 1971" قبل وبعد زلزال 1971، قد انخفض من 1.5Hz إلى 1Hz. وهذا ما يقابل خسارة 56% من صلابته المتناسبة مع مربع هذا التواتر. أما الدراسة [4]، فقد دلت على انخفاض التواتر الذاتي الأول لمبني "Telephon Building" من 3.6Hz إلى 2.7Hz، وذلك قبل زلزال "Morgan Hill, 1984" وبعد زلزال "Loma Prieta, 1989".

تشكل الدراسة الأخيرة حلقة في سلسلة من الأبحاث: [7,6,5]. أجريت في المخبر المركزي للجسور والطرق في باريس. عُنِيت هذه الدراسة بتحليل تسجيلات اهتزاز مجموعة من المباني الأمريكية، منها المباني المذكوران، أثناء كافة الزلازل التي حدثت منذ مطلع السبعينيات والتي جمعت من قبل ما يُعرف ببرنامج التجهيزات الكاليفورني لقياس الحركات القوية "California Strong Motion Instrumentation program" ووزعت بغية مشاركة دولية في هذه الأبحاث الهامة على الكثير من مراكز البحث العالمية، ومنها المخبر الفرنسي المذكور الذي بينت أعمال باحثيه المشار إليها، أن سلوك مباني البيتون المسلح الخاضعة للزلازل القوية، هو سلوك لخطي متغير مع الزمن يرافقه تناقص في صلابات هذه الإنشاءات. لقد استخدمت هذه

تبدي الأضرار التي يحدثها تكرار تحمل الإنشاءات أثناء خدمتها، بتناقص في مميزات مقاومتها، كالصلابة أو التخميد (القدرة على تبديد الطاقة). ويمكن لهذه الأضرار، إذا لم تكشف في الوقت المناسب ولم تتم معالجتها، أن تترافق إلى درجة الانهيار الكارثي لهذه الإنشاءات. لذا بدأ الأدب العلمي المختص منذ مطلع السبعينيات، يسمى ظاهرة التناقص هذه بالتردد *degradation* ، وراح الباحثون يهتمون بتطوير تقنيات دراسة تردد الإنشاءات، وكشف التغيرات الزمنية لمميزات الصلابة والتخفيد فيها.

فأجريت في فرنسا تجارب مخبرية متعددة على عناصر إنشائية من البيتون المسلح، تعرضت لتحميل دوري [1]، كما أجريت تجارب تحمل متداوب على وصلات المنشآت البيتونية [2]. وقد بينت جميع هذه التجارب ظاهرة التردد الإنشائي اللاعكوس، والذي يمكن أن يقاس مباشرة بواسطة مراقبة ميل محور حلقات البطام *hysteresis loops* كما تم إيضاح الظاهرة نفسها، عندما جرت في الولايات المتحدة الأمريكية مراقبة مجموعة من الأبنية خضعت لتأثير العديد من الزلازل، وعلى فترات متباude من الزمن. فمثلاً بينت الدراسة [3]، لمبني "The Milikan Library" في كاليفورنيا،

من أجهزة تسجيل الاهتزازات الطبيعية أو الصناعية، يوضع أحدهما في أعلى المبني، ويوضع الثاني بالقرب من أساساته.

## 2- الكشف (أو التعرف والتحديد) بطريقة الاستطراد المكافئ:

أثبتت عدة بحاث منها [5]، أن سلوك الأبنية متوسطة الارتفاع والمنتظمة هندسياً، وخصوصاً عند مستوى سطحها العلوي، قابل للتمثيل بالمنوال الذاتي الأول للمبني. لذلك ستنحصر في المرحلة الأولى من بحثنا على تطبيق هذه الطريقة على هذه الفئة من المباني التي يمكن تمثيلها بهزاز غير طردي (غير خطى)، علماً أن تعميمها لتشمل جملأً لها أكثر من درجة حرية ليس صعباً، وسنحاول معالجته في بحث آخر.

في كتابتنا لمعادلة حركة الهزاز غير طردي (أو غير الخطى) الممثل للمبني، سنستخدم بدلاً من قوتي الصلابة والتخميد، مفهوم القوة الداخلية ( $f(x, \ddot{x})$ ) في واحدة الكتلة، وهي تابع غير طردي لكل من الانتقال والسرعة، يساوي حسب قانون نيوتن الثاني الفرق بين التحريرين الزلزالي  $\ddot{x}$ ، والتسارع  $\ddot{x}$ . أي أن:

$$(1) \quad \ddot{x} - f(x, \ddot{x}) = 0$$

إن هذه القوة قابلة للقياس، وتسجل فعلياً في المبني المزودة بالتجهيزات، كتابع للزمن أو للانتقال، مما يسمح لنا بالتعرف على السلوك غير طردي للاهتزازات المدروسة. وكي نوضح عدم مراواحة هذا

الأعمال تقنية رياضية يمكن تسميتها الكشف (أو التعرف والتحديد) المنوال *Modal Identification*، لدراسة اهتزازات المبني على مجالات زمنية متقللة. إن هذه التقنية تقوم على فكرة استصغار *Minimization* الفرق بين استجابات المبني الحقيقية المسجلة أثناء الزلزال، واستجابات نموذجه المستطرد *Linearized* على مجالات زمنية محددة من مدة الزلزال، علماً أن الاستجابات الحقيقية، وتلك الناتجة عن النموذج الرياضي والممتدة على كامل مدة الزلزال، تظهر سلوكاً غير طردي (غير خطى).

إن تطبيق هذه التقنية الرياضية بهدف تحديد قيم مميزات الصلابة والتخميد للمبني، ودراسة تغيرات هذه المميزات مع الزمن أثناء الزلزال، يتطلب تقديراً تقييفياً مسبقاً لهذه المميزات [8]. كما أن الخطا الناتج عن عملية الاستصغار المذكورة، يتبع بصورة غامضة كيفية تقسيم مدة الزلزال إلى مجالات زمنية جزئية.

ولتلافي هاتين الصعوبتين قمنا باقتراح وتطبيق طريقة مبسطة لإجراء عملية التعرف والتحديد لمميزتي المنشآت الرئيسيتين، وهما توافره الطبيعي الأول، وعامل تخدامه اللزوج المكافئ، ولدراسة تغير هذين العاملين مع الزمن أثناء مدة الزلزال. كما أن لهذه الطريقة المبسطة أهمية خاصة في البلدان النامية، حيث يمكن مراقبة الأبنية، باستعمال جهازين اثنين فقط

قوتين إحداها قوة مرونة داخلية والأخرى قوة لزوجة داخلية وذلك بمساعدة العاملين  $\omega$ ,  $\ddot{x}$ ,  $\dot{x}$ ,  $x$ ,  $\ddot{x}_g$ ,  $\dot{x}_g$ ,  $x_g$  المتغيرين مع الزمن. ونكتب:

السلوك ضمن المجال الزمني  $(0, T)$ ، لكامل فترة الزلزال التي تم فيها تسجيل كل من  $\ddot{x}$ ,  $\dot{x}$ ,  $x$ ,  $\ddot{x}_g$ ,  $\dot{x}_g$ ,  $x_g$ ، نقرب هذه القوة المقيدة بالفرق (1)، بقوة  $\hat{f}$  نعرفها كمجموع

$$f(x, \dot{x}) \approx \hat{f}(x, \dot{x}) = \omega^2(t)x + 2\dot{\omega}(t)\dot{x} \quad (2)$$

الزمني الكلي إلى  $n$  مجال جزئي يكون المجال رقم  $i$  محدداً  $(T_{i-1}, T_i)$ , علماً أن:  $T_0 = 0, T_n = T, 0 \leq i \leq n$ . إذا اخترنا عدداً كافياً من المجالات الجزئية يمكننا اعتبار العاملين  $\omega$ ,  $\ddot{x}$ ,  $\dot{x}$  ثابتين في كل مجال منها. ومن ثم نقوم بتحديد هذين العاملين في المجال المعني عبر تطبيق شرطي استصغار  $minimization$  تابعي  $functional$  الخطأ التالي:

أي أننا نمثل الهزاز بكثلة ثابتة  $M$ , معلقة إلى نابض متغير الصلابة  $M\omega^2(t)$ , وإلى مخد لزج يطبق قوة متغيرة مع الزمن أيضاً. ونحاول تحديد قيم التابعين  $\omega(t)$ ,  $\ddot{x}(t)$ , في مجالات زمنية جزئية من المجال  $(0, T)$ . إن شدة تغيير هذه القيم من مجال إلى آخر سيوضح مقدار التضرر الذي أصاب المنشأ في صلابته المناسبة مع مربع  $\omega(t)$ , أو في قدرته على التخميد  $\ddot{x}(t)$ . إذا قسمنا المجال

$$\chi_i^2 = \frac{\int_{T_{i-1}}^{T_i} (f - \hat{f})^2 dt}{\int_{T_{i-1}}^{T_i} f^2 dt}$$

$$\chi_i^2 = \frac{\int_{T_{i-1}}^{T_i} [(\ddot{x} + \ddot{x}_g) + 2\dot{\omega}(t)\omega(t)\dot{x} + \omega^2(t)x]^2 dt}{\int_{T_{i-1}}^{T_i} (\ddot{x} + \ddot{x}_g)^2 dt} \quad (3)$$

الداخلية  $\hat{f}$  التي يعطيها نموذج الهزاز المرن اللزج الخاص بهذا المجال الجزئي. يعطي شرطاً الاستصغار المذكوران الجملة التالية من المعادلات الطردية (الخطية)، بالنسبة للمتحولين  $(\omega^2, \ddot{x}_g)$ :

بالنسبة للمتحولين:  $(2\dot{\omega}, \omega^2)$ . إن هذا التابع يعبر عن الفرق التربيعي المنظم *squared normed difference* بين المتوسط الزمني ضمن المجال الجزئي  $i$ ، للقوة الداخلية الحقيقة  $f$  وللقوة

$$\left. \begin{aligned} (\omega^2) \int_{T_{i-1}}^{T_i} x^2 dt + (2\xi\omega) \int_{T_{i-1}}^{T_i} x\dot{x} dt &= - \int_{T_{i-1}}^{T_i} x(\ddot{x} + \ddot{x}_g) dt \\ (\omega^2) \int_{T_{i-1}}^{T_i} x\dot{x} dt + (2\xi\omega) \int_{T_{i-1}}^{T_i} \dot{x}^2 dt &= - \int_{T_{i-1}}^{T_i} \dot{x}(\ddot{x} + \ddot{x}_g) dt \end{aligned} \right\} \quad (4)$$

والتي يمكننا إعادة كتابتها، بعد حساب التكاملات التي شكل أمثل المتحولين

$(2\xi\omega)^2$ ، وتغيير رموزها، على النحو التالي:

$$\left. \begin{aligned} I_{xx}(\omega^2) + I_{x\dot{x}}(2\xi\omega) &= I_{xf} \\ I_{\dot{x}\dot{x}}(\omega^2) + I_{x\dot{x}}(2\xi\omega) &= I_{\dot{x}f} \end{aligned} \right\} \quad (4)$$

وبحلها نحصل على قيمتي المتحولين  $\omega$ ،  $\xi$ ، المعرفتين للنموذج البسيط الممثل للمبني. وهاتان القيمتان هما:

$$\omega_i = \sqrt{\frac{I_{xf}I_{\dot{x}f} - I_{\dot{x}f}I_{x\dot{x}}}{I_{xx}I_{\dot{x}\dot{x}} - I_{\dot{x}\dot{x}}I_{xx}}} \quad (5)$$

$$\xi = \frac{I_{xx}I_{\dot{x}f} - I_{\dot{x}\dot{x}}I_{xf}}{2\sqrt{(I_{xf}I_{\dot{x}\dot{x}} - I_{\dot{x}f}I_{xx})(I_{xx}I_{\dot{x}\dot{x}} - I_{\dot{x}\dot{x}}I_{xx})}} \quad (6)$$

وبتعويضهما في (3) نحصل على القيمة الدنيا لتابع الخطأ  $\chi_i^2$ .

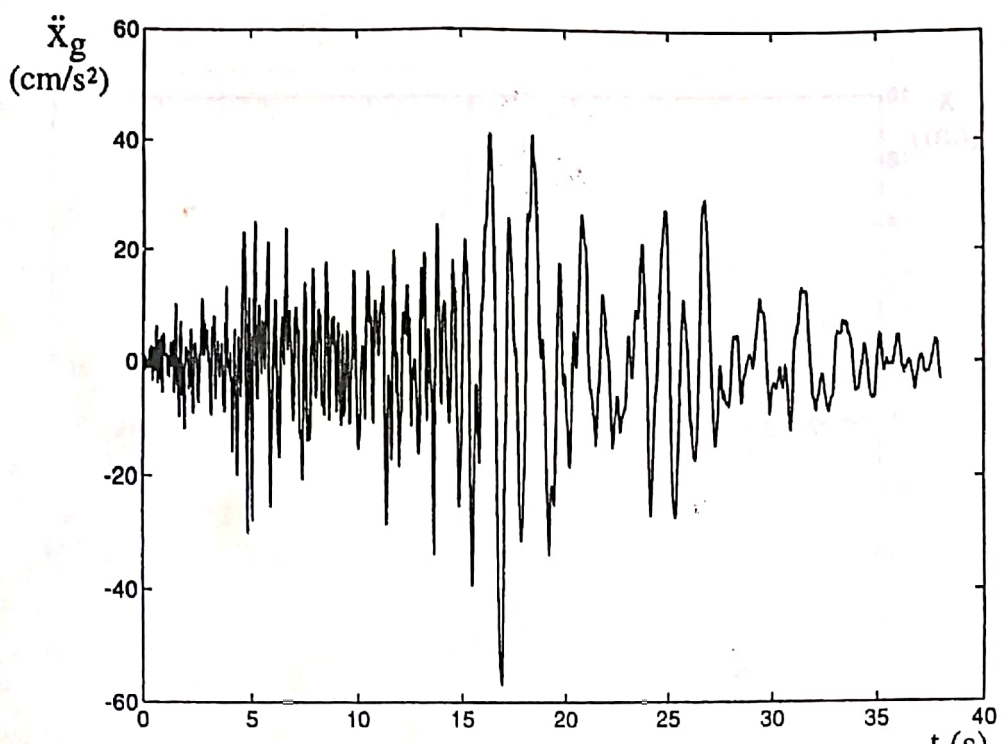
"1984" الذي دام  $T = 38 \text{ Sec}$ . ، انظر الشكل (1). ونفرض به هزاً غير مراوح ثابت ت xmaxde ئ ثابت، وبنشه الذاتي  $\omega(t)$  تابع متافق للزمن من الشكل:

ولاختبار صلاحية طريقة الاستطراد المكافئ هذه، ستطبقها على مثال عددي. إذ نأخذ التسارع ( $\ddot{x}_g$ ) المسجل<sup>1</sup> في أسفل مبني "Great Western Saving" Building Morgan Hill، أثناء زلزال

$$\omega(t) = 0.5 \omega_0 [1 + (T-t)^2/T^2] \quad (7)$$

والذي نكتب معادلة حركته وفق قانون نيوتن الثاني بالشكل:

<sup>1</sup> وزع هذا التسجيل من قبل برنامج التجهيزات الكاليفورني لقياس الحركات القوية California Strong Motion Instrumentation program على العديد من مراكز البحث في العالم ومنها المخبر الفرنسي LCPC حيث اطلع عليها الباحث.



الشكل (1) التحرير  $\ddot{x}_g$  في أسفل المبني.

$$-\ddot{x}_g + \omega^2(t)x + 2\zeta(t)\dot{x} = 0 \quad (8)$$

ولتوسيح عملية التعرف والتحديد نعتبر ألاآن أن المعلوم هو الاستجابات:  $x, \dot{x}, \ddot{x}$ ، والتحرير:  $\ddot{x}_g$ . ونحاول باستخدام المعادلة (5) حساب النبض الذاتي  $\omega$  على عشرة مجالات زمنية جزئية متساوية تغطي فترة الزلزال:

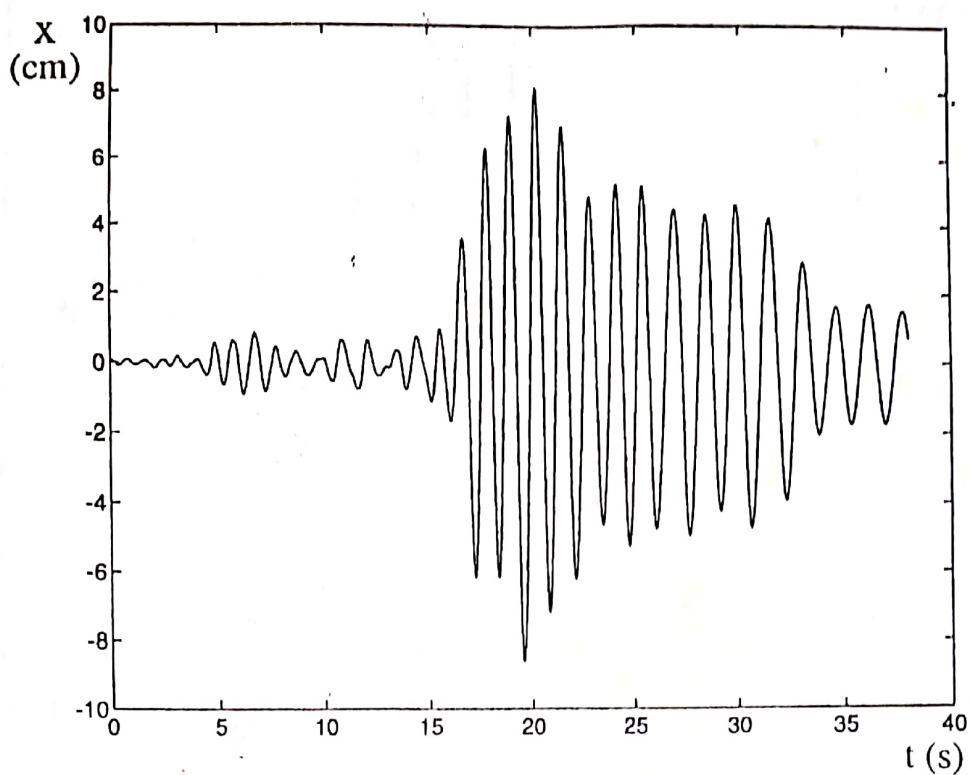
$$T = 38 \text{ Sec}$$

وعلى الشكل (6) نبين هذه القيم المحسوبة والمشار إليها بنجم (\*)، والمنحنى المستمر الممثل للمعادلة (7) كتابين للزمن. وتوضح المقارنة التقارب بين القيم المحسوبة والمنحنى المستمر، إذ لا يتجاوز أكبر خطأ 13 %، وهذا ما يدل على صلاحية طريقة الاستطراد المكافئ في التعرف على خصائص الهزاز الممثل الأولى والبسيط للمبني وتحديد قيم هذه الخصائص.

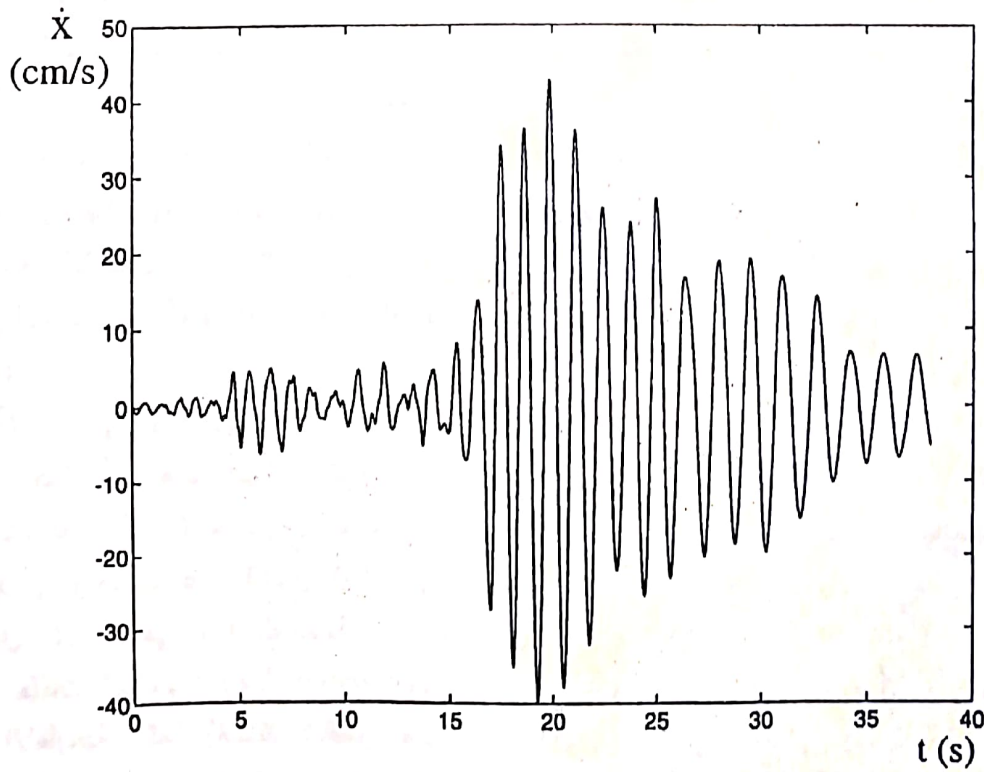
وهي معادلة تقاضالية من المرتبة الثانية ذات أمثل غير ثابتة وغير خطية. يمكننا مكاملتها عددياً بطريقة-Runge-Kutta من المرتبة الرابعة (التي يمكن مراجعة خوارزمياتها في العديد من المراجع ومنها [9]), فتحصل على التسارع، السرعة والانتقال:  $x, \dot{x}, \ddot{x}$ . التي مثناها على الأشكال (2)، (3)، (4) من أجل الحالة:

$$\omega_0 = 8 \text{ Rad / Sec}, \zeta = 0.05$$

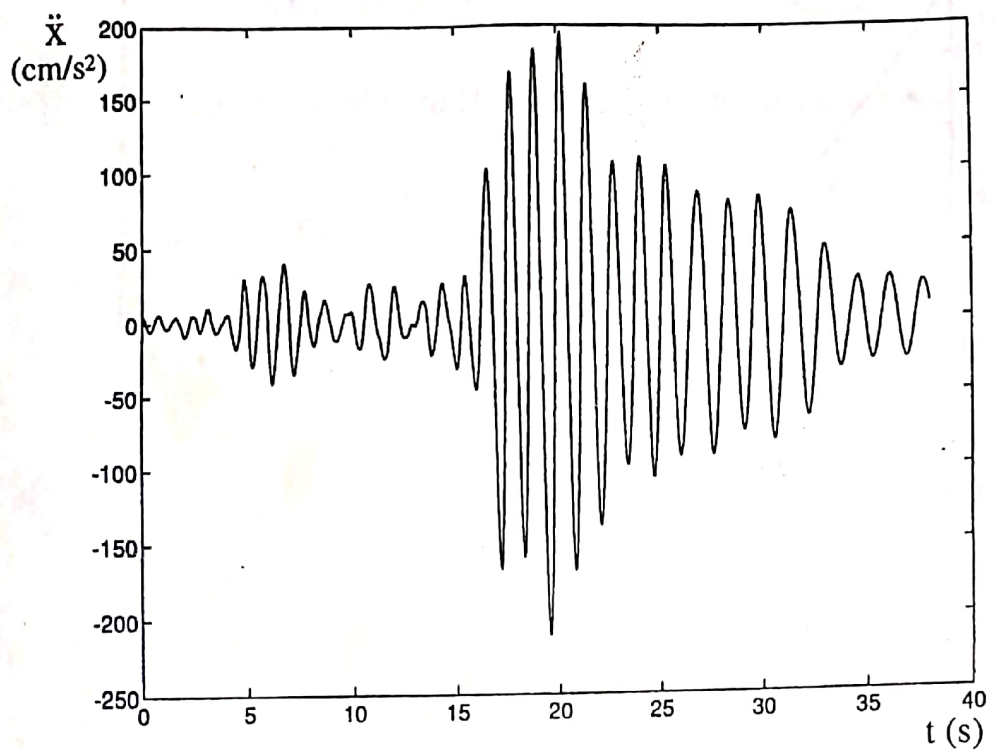
كما أن هذه التوابع تسمح لنا بمساعدة المعادلة (2) بحساب القوة الداخلية  $f(x, \dot{x})$  وتمثيلها على الشكل (5) كتابع للانتقال  $x$ . وعلى هذا المخطط يلاحظ شكل حلقات البطاء *Hysteresis loops* شبه الاهليجية. كما يلاحظ تناقص ميل المحور الرئيسي لهذه الحلقات، ذلة على تردد الصلابة للمبني الممثل بالهazard.



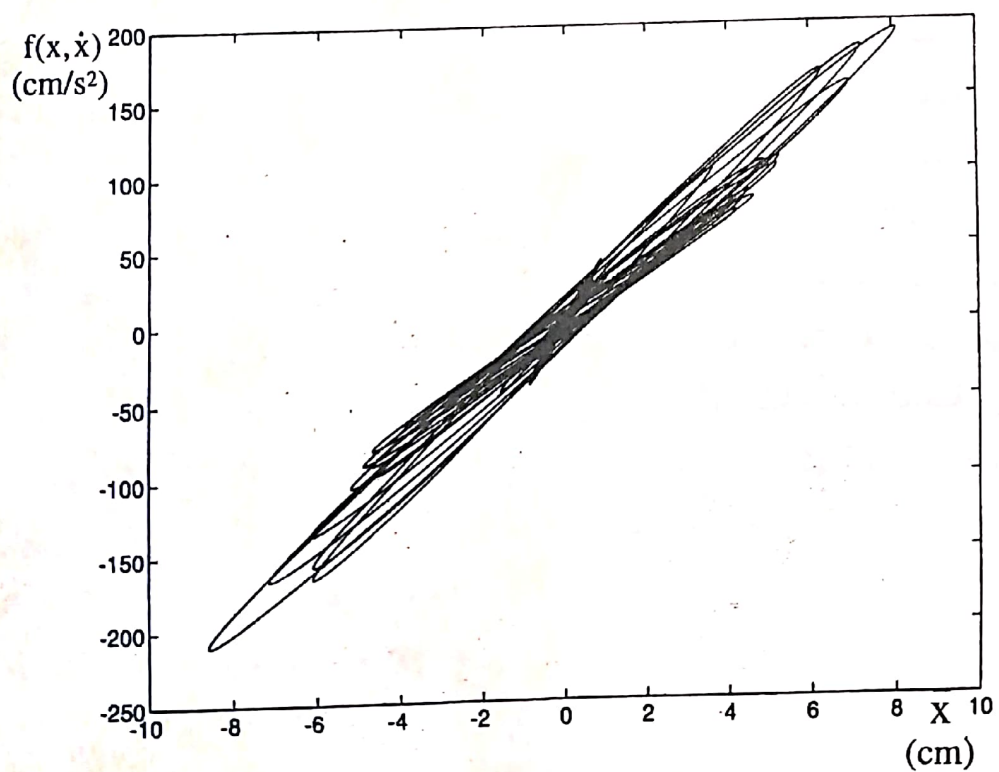
الشكل (2) استجابة الانتقال  $(t)$   $x$  في هزاز لزج من غير مراوح.



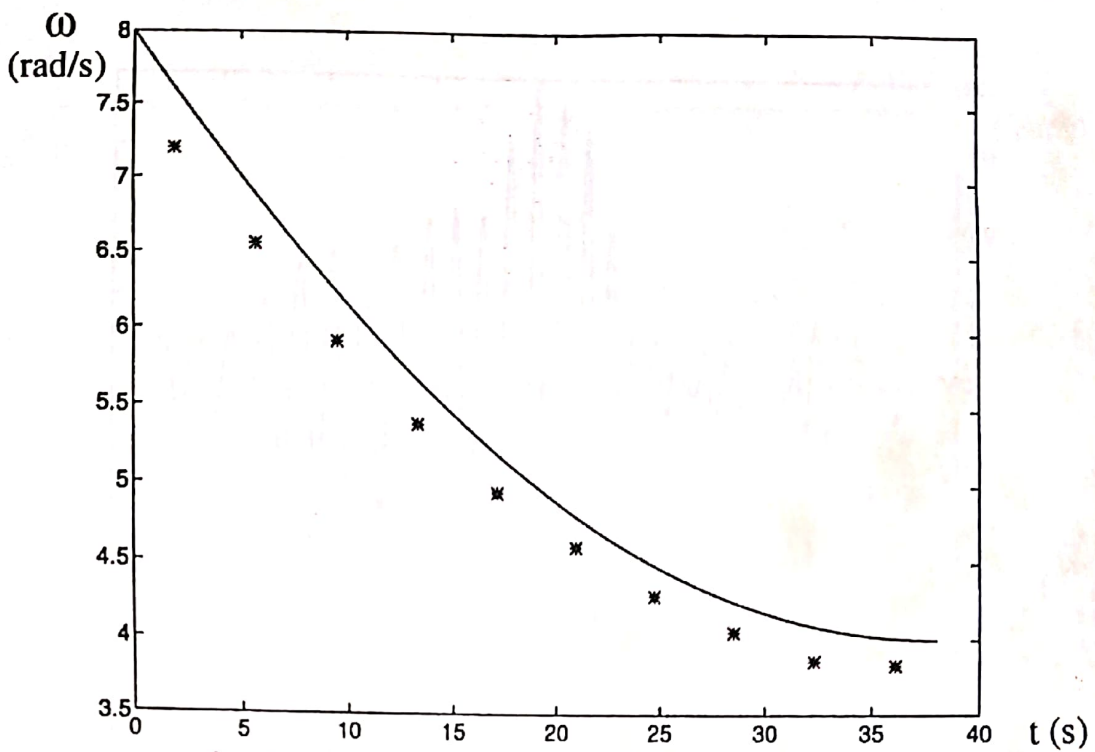
الشكل (3) استجابة السرعة  $(t)$   $\dot{x}$  في هزاز لزج من غير مراوح.



الشكل (4) استجابة التسارع ( $\ddot{x}$ ) في هزاز لزج من غير مراوح.



الشكل (5) حلقات البطاء لهزاز لزج من غير مراوح.



الشكل (6) تغير  $\omega$  مع الزمن من أجل هزاز لزج من غير مراوح  
(\*) القيم المحسوبة من العلاقة (5)، الخط المستمر: القيم الدقيقة.

تحديد القيم البدئية المميزة لخصائص المبني المراد الكشف عنها، باستخدام طريقة الكشف المنوالى المذكورة سابقاً، والتي تلزم لضمان حسن تقارب خوارزميات هذه الطريقة الأخيرة. ومن المفيد متابعة هذا البحث، بغية تعميم الطريقة المقترحة على أبنية أكثر ارتفاعاً وأقل انتظاماً من الناحية الإنسانية، والتي تتطلب دراستها تمثيلها بعدد أكبر من درجات الحرية.

**3- النتائج والتوصيات:**  
تشير النتائج التي توصلنا إليها إلى إمكانية تطبيق طريقة الاستطراد المكافىء البسيطة في مراقبة الأبنية المنتظمة أفقياً وشاقولياً وذات الارتفاعات المتوسطة، التي يمكن تمثيلها للغاية المحددة في مراقبة تردداتها، بهزاز ذي درجة حرية واحدة. ويحتاج تطبيق هذه الطريقة إلى عدد قليل من أجهزة تسجيل الاهتزازات، مما يجعل استعمالها في البلدان النامية أمراً ميسوراً. كما أظهرت طريقة الاستطراد المكافىء المقترحة قدرة في المساعدة على

## REFERENCES

## المراجع

- [1]- C. Colodant, Voiles en Béton Armé Soumis à Cisaillement. Evolution de la Rigidité en Fonction de la Distorsion, comptes-rendus de la Conférence sur le Comportement non Linéaire des Structures en Béton Armé sous Sollicitation Sismiques, 25 Nov. 1978, St-Remy-les-Chevreuses, France, AFPS, pp.51-55.
- [2]- R. Del. Toro Rivera, Comportement des noeuds en béton armé sous sollicitation alternées, Thèse de Doctorat de l'Ecole Nationale des Ponts et Chaussées, Paris 1988.
- [3]- H. Iemura et P. C. Jennings, Hysteretic Response of a Nine Story Reinforced Concrete Building, *Earthquake Engineering and Structural Dynamics*, Vol.3 1974, pp. 183-201.
- [4]- p. Y. Bard, H. Afra et P. Argoul, 'Dynamic Behaviour of Building: Experimental Results from Strong Motion Data', *Recent Advances in Earthquake Engineering and Structural Dynamics*, V. Davidovici (ed.), Ouest Editions, 1992, VI-6, pp. 441-477.
- [5]- H. Afra et P. Argoul, 'Identification du comportement sismique des bâtiments et comparaison avec les données réglementaires', *Annales des Ponts et Chaussées*, Vol. 53-54 1990, pp. 50-65.
- [6]- H. Afra, *Identification du Comportement sismique de Bâtiments à Partir de leurs réponses Accelerometriques*, Thèse de Doctorat de l'Ecole National des Ponts et Chaussées, Paris 1991.
- [7]- goul, *Identification des Structures vibrantes*, Thèse de Doctorat de l'Ecole Nationale des Ponts et Chaussées, Paris 1990.
- [8]- goul, le Phénomène de dégradation de la rigidité dans le comportement sismique de bâtimens en bton Armé, 3<sup>e</sup> Colloque National de Génie Parasismique, Mars. 1993, St-Remy-les-Chevreuses, AFPS, Vol. II, BA, pp. 72-82, France.
- [9]- W. H. Press & al, Numerical recipes, *the art of scientific computing*, 1992 Cambridge.